

**Instituto Superior Técnico**

MEEC

Machine Learning

## **Lab 3**

## **Neural Networks**

**Group 9**

Manuel Diniz, 84125  
Alexandre Rodrigues, 90002

**Turno:** 4<sup>a</sup>f 11h00

# Contents

<b>1</b>	<b>Pre-processamento dos dados</b>	<b>2</b>
<b>2</b>	<b><i>Multilayer perceptron</i></b>	<b>3</b>
<b>3</b>	<b><i>Convolutional neural network</i></b>	<b>6</b>
3.1	Comparação de resultados . . . . .	9

# Chapter 1

## Pre-processamento dos dados

De modo a melhor se enquadrarem ao tipo de redes neuronais a usar, os dados são alterados de forma a se obter valores para cada pixel de 0 a 1 em *floating point*, ao invés dos 0 a 255 em *uint8*. Valores normalizados adequam-se melhor a redes neuronais, pelo que se divide por 255. Para além disto converte-se a *label* de cada imagem para representação *one-hot*, um formato mais uma vez mais adequado para os modelos a usar.

## Chapter 2

### *Multilayer perceptron*

Primeiramente cria-se um modelo *MLP*, constituído por um *input layer*, dois *hiddenlayers*, o primeiro com 32 e o segundo com 64 *neurons*, e um *output layer*.

Um dos desafios ao treinar *neural networks* é saber quando parar. Treinar de menos significa que o modelo fique *underfit* e treinar demais pode levar a que o modelo fique *overfit*. O modelo é então corrido com *early stopping*, até um máximo de 200 *epochs*, para que este pare assim que a sua *performance* não melhore com o *validation set*.

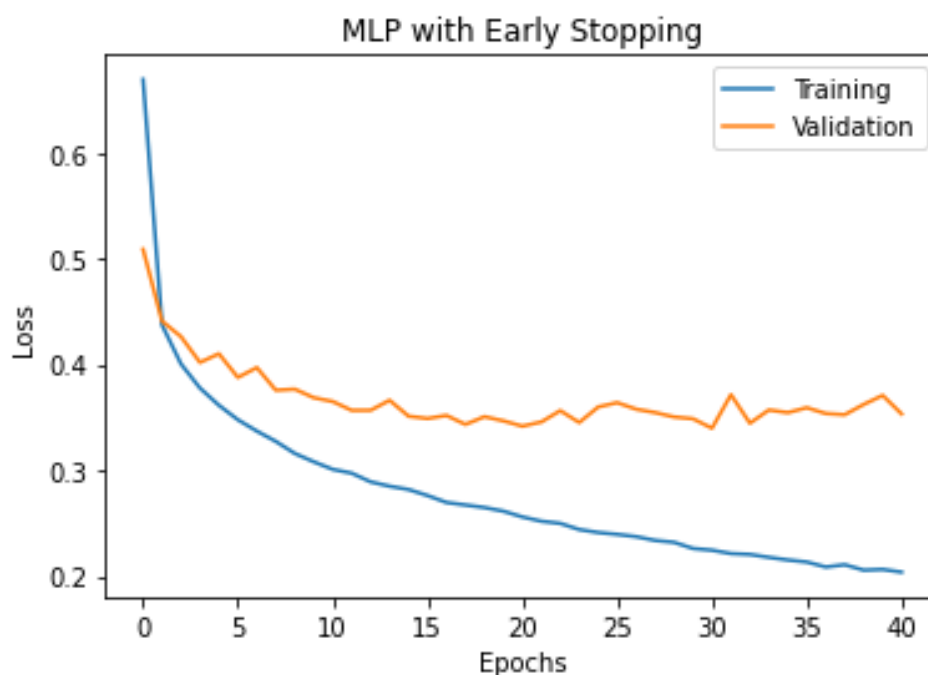


Figure 2.1: MLP com Early Stopping

O *validation set* começa a estabilizar aproximadamente nas 30 *epochs*, altura em que a sua *performance* não melhora, sendo que a *loss* continua a diminuir.

O modelo tem uma *accuracy* de 0.8787 no conjunto de teste e produz a seguinte *confusion matrix*:

Label	T-shirt	Trouser	Pullover	Dress	Coat	Sandal	Shirt	Sneaker	Bag	Ankle boot
T-shirt	870	2	26	26	2	3	64	0	7	0
Trouser	2	970	4	17	3	0	3	0	1	0
Pullover	19	0	799	10	98	0	72	0	1	0
Dress	38	7	14	855	32	0	20	0	4	0
Coat	0	1	97	25	803	0	73	0	1	0
Sandal	0	0	0	0	0	950	0	28	1	21
Shirt	164	1	96	29	65	0	637	0	8	0
Sneaker	0	0	0	0	0	13	0	958	0	29
Bag	7	0	8	6	5	1	6	5	962	0
Ankle boot	0	0	0	0	0	11	1	35	0	953

De seguida testou-se o modelo, mas desta vez sem o *early stopping*.

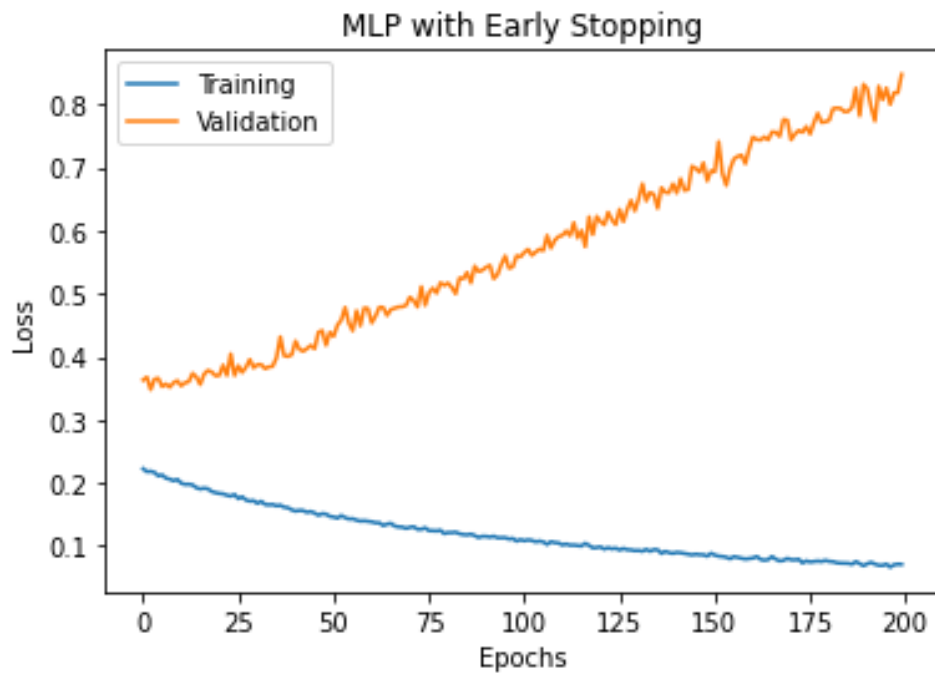


Figure 2.2: MLP sem Early Stopping

O *validation loss* aumenta ao longo das *epochs*. No entanto, a *loss* é menor que o modelo com *early stopping*, e continua a diminuir.

O modelo tem uma *accuracy* pior, 0.8642, e produz a seguinte *confusion matrix*:

Label	T-shirt	Trouser	Pullover	Dress	Coat	Sandal	Shirt	Sneaker	Bag	Ankle boot
T-shirt	800	4	14	34	4	0	136	0	9	0
Trouser	5	971	5	12	2	0	4	0	0	1
Pullover	22	1	771	15	97	1	88	0	5	0
Dress	29	11	17	880	24	2	29	0	7	1
Coat	4	0	91	37	880	1	56	0	4	0
Sandal	0	0	0	0	0	952	0	25	5	18
Shirt	109	1	81	28	72	0	698	0	11	0
Sneaker	0	0	0	0	0	31	0	927	0	42
Bag	9	0	5	5	8	6	9	3	955	0
Ankle boot	0	0	0	0	0	16	1	35	0	948

Como se pode verificar para ambos os casos, o modelo *mlp* funciona e obtém bons resultados na identificação das imagens. Existem alguns erros na identificação de *T-shirts* e *Shirts*, mas é algo que se espera, uma vez que são imagens parecidas.

## Chapter 3

# *Convolutional neural network*

É agora criado o modelo de uma *CNN*, com a arquitetura especificada. Este modelo é treinado por um máximo de 200 *epochs*, e programado para parar mais cedo se não existirem melhorias na aprendizagem.

O *callback* de *early stopping* tem como objetivo evitar que o modelo fique *overfit*, pelo que é muito importante que este se baseie na métrica correta para decidir quando parar a aprendizagem e restaurar os melhores pesos. A métrica a escolher é claramente *val.loss*, ou *loss* de validação, isto porque é a métrica que dá uma avaliação da *performance* do modelo com dados com qual este não treinou. Se fosse usado, por exemplo, a métrica *loss*, que diz respeito aos dados de treino, o modelo iria tornar-se significativamente *overfit*.

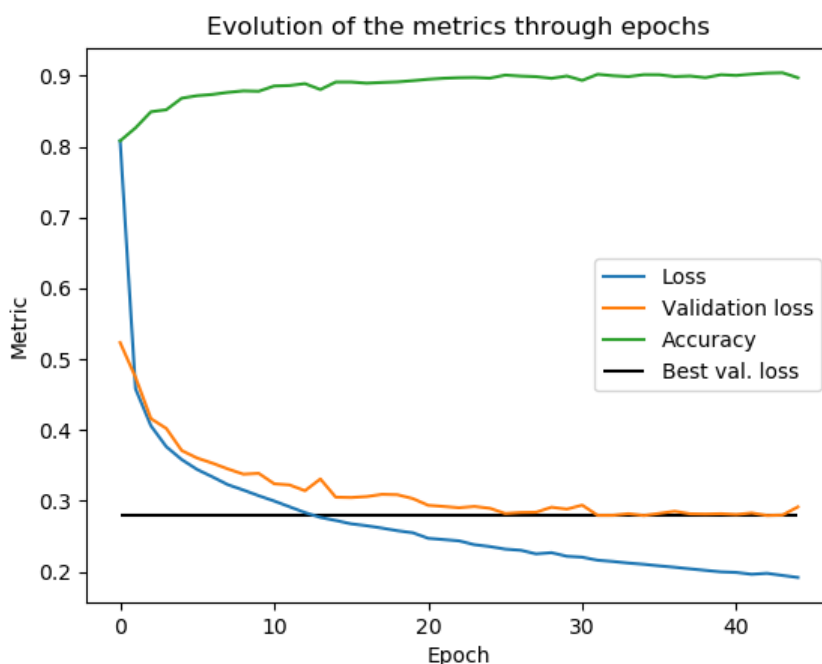


Figure 3.1: Evolução das métricas ao longo dos *epochs*

Como se pode observar, a *loss* continua a diminuir muito depois da *validation loss* estabilizar.

Observa-se ainda uma pequena subida da *validation loss* junto aos últimos *epochs*, antes do *early stopping* ter parado a aprendizagem. Nesta altura o modelo estava a tornar-se *overfit*, melhorando a *performance* nos dados de treino ao custo da nos dados de validação.

A validação final com os dados de teste produz uma *accuracy* de 0.9016, e a *confusion matrix* seguinte:

Label	T-shirt	Trouser	Pullover	Dress	Coat	Sandal	Shirt	Sneaker	Bag	Ankle boot
T-shirt	870	0	24	25	2	1	71	0	7	0
Trouser	1	971	1	21	2	0	2	0	2	0
Pullover	18	0	868	7	37	0	67	0	3	0
Dress	16	2	16	906	28	0	27	0	5	0
Coat	1	1	53	19	845	0	77	0	4	0
Sandal	0	0	0	0	0	971	0	21	0	8
Shirt	153	0	68	21	56	0	685	0	17	0
Sneaker	0	0	0	0	0	9	0	974	0	17
Bag	3	1	8	4	4	2	7	5	965	1
Ankle boot	1	0	0	0	0	4	0	34	0	961

Como se pode observar, o modelo é robusto na identificação dos objetos. O maior volume de enganos ocorre na identificação de peças de roupa semelhantes, como *T-shirts* e *shirts*, o que é razoável, tendo em conta que os seus formatos são parecidos.

Observando agora as ativações das camadas de convolução para uma imagem exemplo, obtém-se:

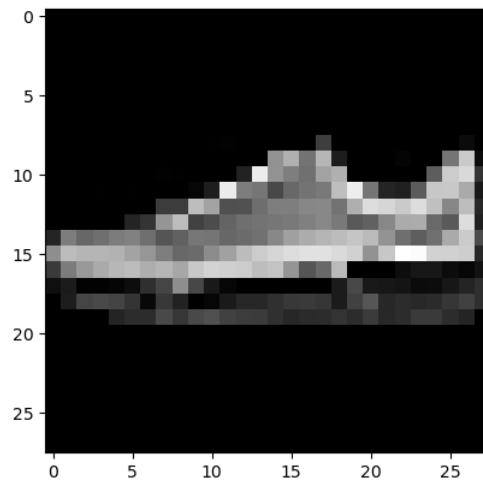


Figure 3.2: Imagem de teste



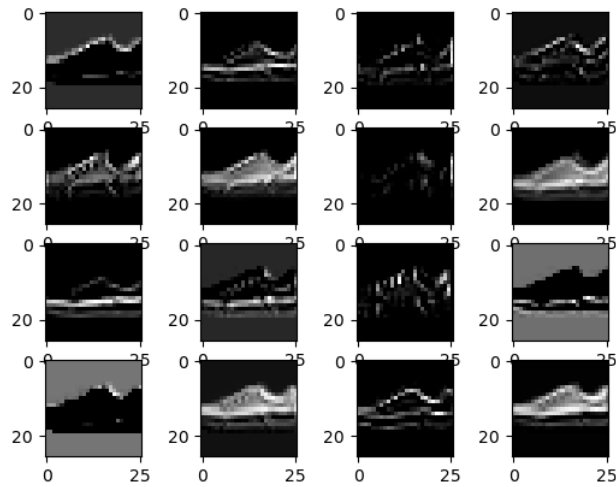


Figure 3.3: Ativação da primeira camada convolucional

Há uma certa dificuldade em tentar entender as *features* que cada canal capta, pois uma rede neuronal nem sempre opera do modo que imaginamos, e há uma certa tendência de impor a nossa lógica ou forma de pensar sobre o modelo, que pode não ser correto. No entanto, parece ser possível extrapolar que o canal 12 (começando a contar do 0) e talvez o 11 extraem, por exemplo, o formato geral do sapato.

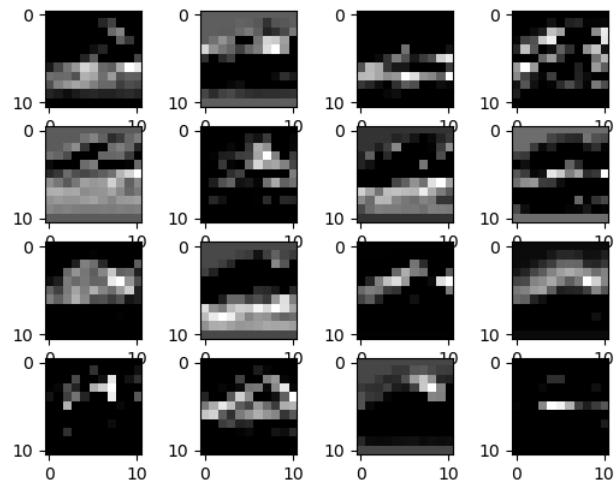


Figure 3.4: Ativação da segunda camada convolucional

A segunda convolução já não permite, através de um olho humano, entender minimamente o processo que o modelo usa, ou que *features* está a identificar. Algumas ativações parecem realçar as bordas do objeto, mas é difícil dizer ao certo.

### 3.1 Comparação de resultados

Avaliando a *validation loss*, o modelo convolucional aparenta ter melhores resultados, mostrando mais "certeza" nas suas previsões. A *accuracy* resultante também é ligeiramente superior. A diferença não é drástica pois redes convolucionais são geralmente utilizadas para tornar o modelo independente quanto à posição do objeto em questão na imagem. Ora neste caso, o objeto encontra-se sempre centrado, sendo que a *performance* entre os modelos é semelhante.

Quanto aos parâmetros a otimizar, a *CNN* possui 15642, enquanto que o *MLP* possui 27882. Apesar de ter mais parâmetros, o *MLP* demora muito menos tempo a otimizar (pois o processo de convolução e o *backpropagation* necessário é computacionalmente complexo por comparação). Como a *performance* é comparável, assumindo que os dados a aplicar não diferem drasticamente dos usados no treino, o *MLP* aparenta ser suficiente se o tempo de treino for uma prioridade. Caso se queira a melhor *performance* possível, opta-se pelo *CNN*.